



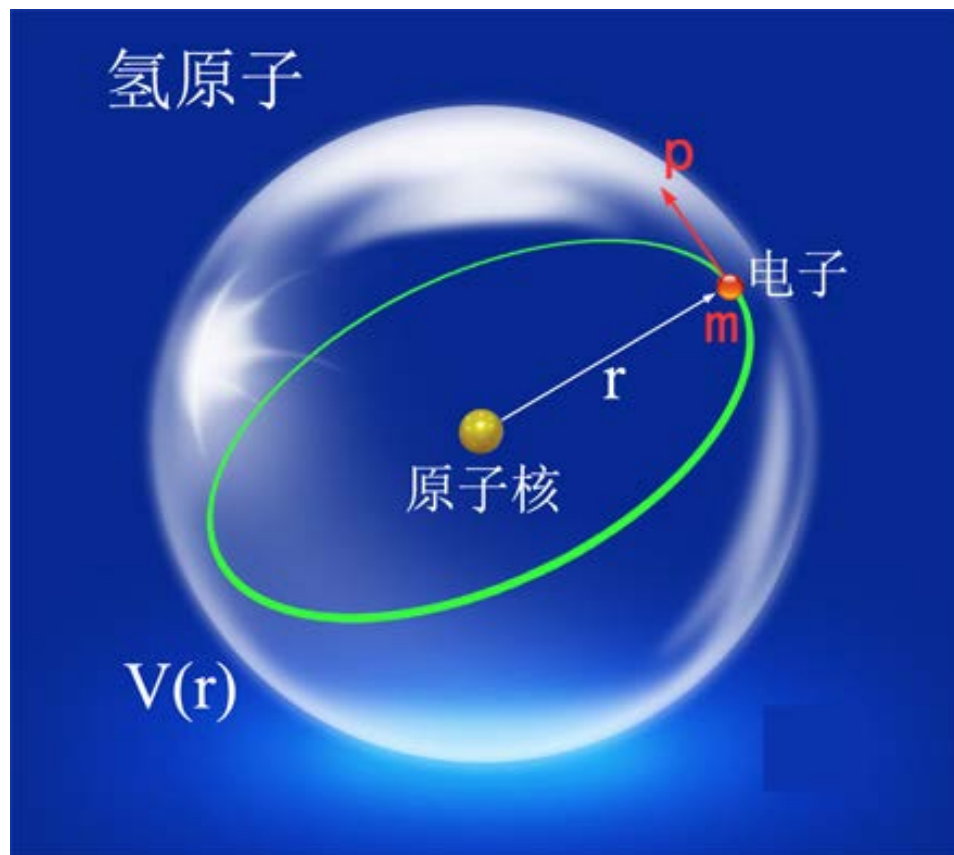
量子力学与统计物理

Quantum mechanics and statistical physics

光电科学与工程学院 王智勇

第五章：求解定态薛定谔方程

第五讲：氢原子



在量子力学发展史上，有个最为突出的成就：就是对氢原子光谱给予了相当满意的解释。氢原子是最简单的原子，其 S -方程可以严格求解。同时，对氢原子的认识是了解其他复杂原子和分子的基础。

氢原子包含一个原子核和一个核外电子，所以是两体问题。

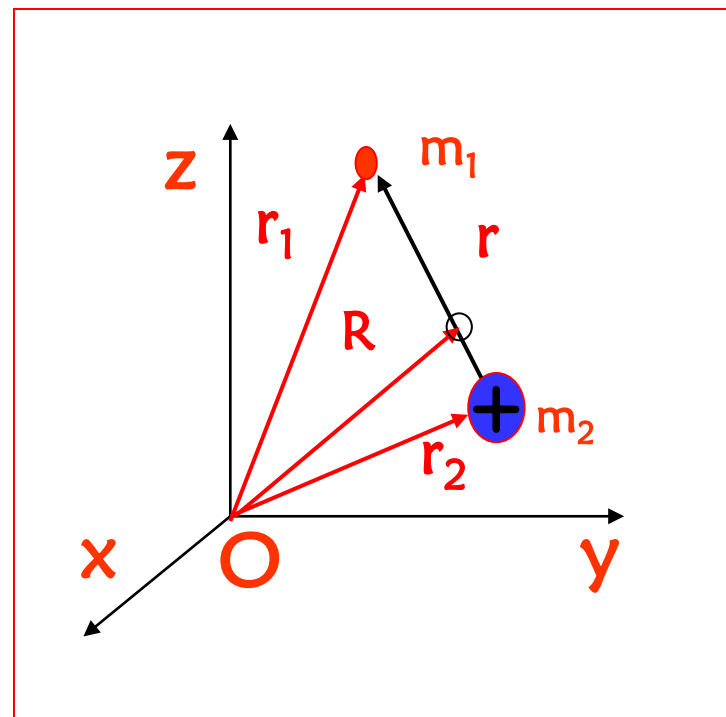
两体体系的哈密顿量：

$$H = -\frac{\hbar^2}{2m_1}\nabla_1^2 - \frac{\hbar^2}{2m_2}\nabla_2^2 + V(\vec{r}_1) + V(\vec{r}_2) + U(|\vec{r}_1 - \vec{r}_2|)$$

其中 $U(|\vec{r}_1 - \vec{r}_2|)$ 是库仑势。

两体体系的波函数：

$$\Psi(\vec{r}_1, \vec{r}_2)$$



当两体体系所处的背景势 $V=0$ 时,

S -方程可以写成☹ (总能量 $E_{\text{total}}=E_t$)

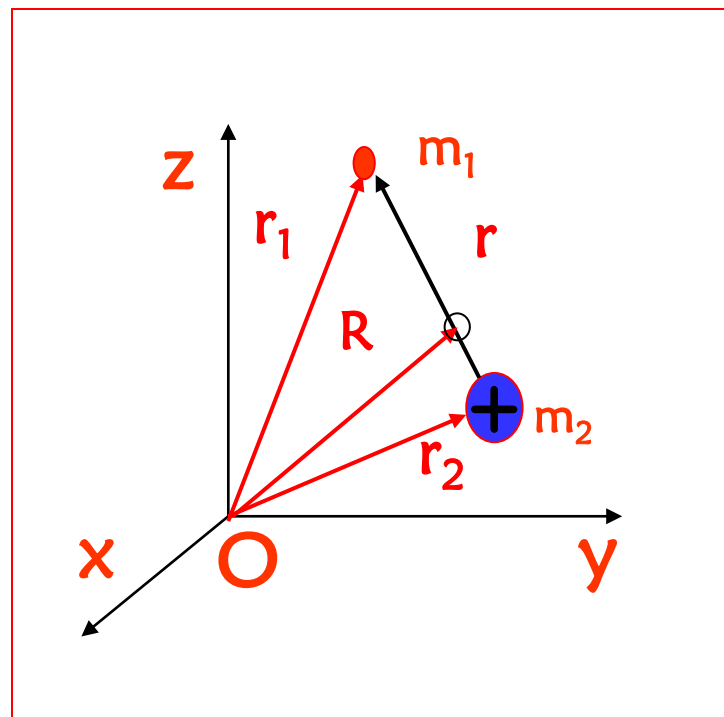
$$\left[-\frac{\hbar^2}{2m_1}\nabla_1^2 - \frac{\hbar^2}{2m_2}\nabla_2^2 + U(|\vec{r}_1 - \vec{r}_2|)\right]\Psi(\vec{r}_1, \vec{r}_2) = E_t\Psi(\vec{r}_1, \vec{r}_2)$$

一、分离变量

引入约化质量 (折合质量)

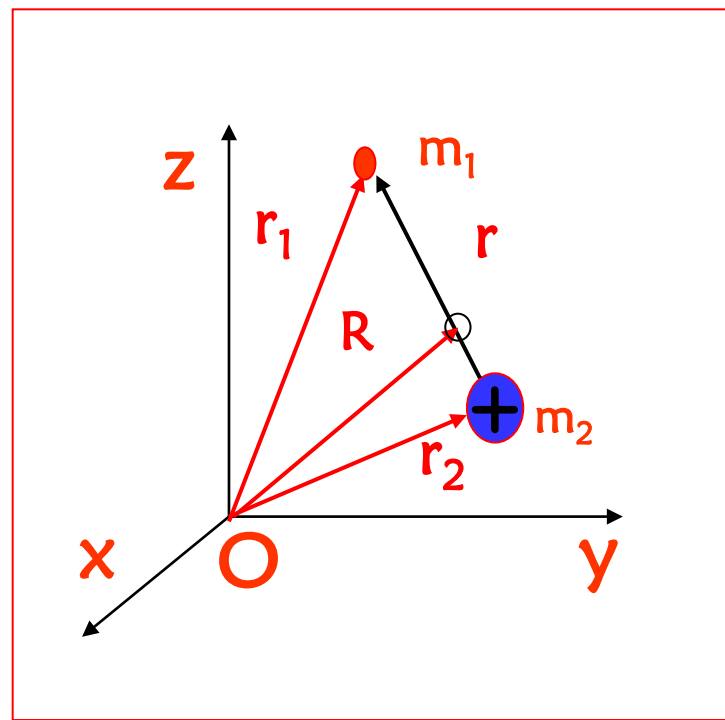
$M = m_1 + m_2$ 体系的总质量

$\mu = \frac{m_1 m_2}{m_1 + m_2}$ 约化质量。



引入相对坐标和质心坐标

$$\begin{cases} \vec{r} = \vec{r}_1 - \vec{r}_2, & \text{相对坐标} \\ \vec{R} = \frac{m_1 \vec{r}_1 + m_2 \vec{r}_2}{m_1 + m_2} & \text{质心坐标} \end{cases}$$



记 \vec{r} 和 \vec{R} 的三个分量分别为 (x, y, z) , (X, Y, Z)

$$H = -\frac{\hbar^2}{2m_1} \nabla_1^2 - \frac{\hbar^2}{2m_2} \nabla_2^2 + U(|\vec{r}_1 - \vec{r}_2|) \quad \text{求: } \nabla_1^2, \nabla_2^2 \text{ 的形式}$$

$$= -\frac{\hbar^2}{2m_1} \nabla_1^2 - \frac{\hbar^2}{2m_2} \nabla_2^2 + U(\vec{r}) \quad \vec{r}_1 = f(\vec{R}, \vec{r}), \vec{r}_2 = f'(\vec{R}, \vec{r})$$

$$\left. \begin{aligned} x &= x_1 - x_2 \\ X &= \frac{m_1 x_1 + m_2 x_2}{M} \end{aligned} \right\} \Rightarrow \frac{\partial}{\partial x_1} = \frac{\partial X}{\partial x_1} \frac{\partial}{\partial X} + \frac{\partial x}{\partial x_1} \frac{\partial}{\partial x} = \frac{m_1}{M} \frac{\partial}{\partial X} + \frac{\partial}{\partial x} \Rightarrow$$

$$\frac{\partial^2}{\partial x_1^2} = \frac{m_1^2}{M^2} \frac{\partial^2}{\partial X^2} + \frac{2m_1}{M} \frac{\partial^2}{\partial X \partial x} + \frac{\partial^2}{\partial x^2}$$

同理可以获得关于 y_1 和 z_1 二阶偏微分的变换式：

$$\frac{\partial^2}{\partial y_1^2} = \frac{m_1^2}{M^2} \frac{\partial^2}{\partial Y^2} + \frac{2m_1}{M} \frac{\partial^2}{\partial Y \partial y} + \frac{\partial^2}{\partial y^2}, \quad \frac{\partial^2}{\partial z_1^2} = \frac{m_1^2}{M^2} \frac{\partial^2}{\partial Z^2} + \frac{2m_1}{M} \frac{\partial^2}{\partial Z \partial z} + \frac{\partial^2}{\partial z^2}$$

$$\nabla_1^2 = \frac{\partial^2}{\partial x_1^2} + \frac{\partial^2}{\partial y_1^2} + \frac{\partial^2}{\partial z_1^2}, \quad \nabla_R^2 = \frac{\partial^2}{\partial X^2} + \frac{\partial^2}{\partial Y^2} + \frac{\partial^2}{\partial Z^2}, \quad \nabla_r^2 = \frac{\partial^2}{\partial x^2} + \frac{\partial^2}{\partial y^2} + \frac{\partial^2}{\partial z^2}$$

从而有：

$$\frac{1}{m_1} \nabla_1^2 = \frac{m_1}{M^2} \nabla_R^2 + \frac{2}{M} \left(\frac{\partial^2}{\partial X \partial x} + \frac{\partial^2}{\partial Y \partial y} + \frac{\partial^2}{\partial Z \partial z} \right) + \frac{1}{m_1} \nabla_r^2$$

$$\frac{1}{m_1} \nabla_1^2 = \frac{m_1}{M^2} \nabla_R^2 + \frac{2}{M} \left(\frac{\partial^2}{\partial X \partial x} + \frac{\partial^2}{\partial Y \partial y} + \frac{\partial^2}{\partial Z \partial z} \right) + \frac{1}{m_1} \nabla_r^2$$

同理，得：

$$\frac{1}{m_2} \nabla_2^2 = \frac{m_2}{M^2} \nabla_R^2 - \frac{2}{M} \left(\frac{\partial^2}{\partial X \partial x} + \frac{\partial^2}{\partial Y \partial y} + \frac{\partial^2}{\partial Z \partial z} \right) + \frac{1}{m_2} \nabla_r^2$$

结合在一起，得

$$\frac{1}{m_1} \nabla_1^2 + \frac{1}{m_2} \nabla_2^2 = \frac{1}{M} \nabla_R^2 + \frac{1}{\mu} \nabla^2, \quad (\mu = \frac{m_1 m_2}{m_1 + m_2})$$

$$\nabla_R^2 = \frac{\partial^2}{\partial X^2} + \frac{\partial^2}{\partial Y^2} + \frac{\partial^2}{\partial Z^2}, \quad \nabla^2 = \nabla_r^2 = \frac{\partial^2}{\partial x^2} + \frac{\partial^2}{\partial y^2} + \frac{\partial^2}{\partial z^2}$$

代入下式

$$\left[-\frac{\hbar^2}{2m_1}\nabla_1^2 - \frac{\hbar^2}{2m_2}\nabla_2^2 + U(\vec{r})\right]\Psi(\vec{r}_1, \vec{r}_2) = E_t\Psi(\vec{r}_1, \vec{r}_2)$$

得质心坐标系下的 S - 方程

$$\left[-\frac{\hbar^2}{2M}\nabla_R^2 - \frac{\hbar^2}{2\mu}\nabla_r^2 + U(\vec{r})\right]\Psi(\vec{r}, \vec{R}) = E_t\Psi(\vec{r}, \vec{R})$$

现在，可分离变量了

$$\text{令 } \Psi(\vec{r}, \vec{R}) = \varphi(\vec{R})\psi(\vec{r}), \quad E_t = E_c + E$$

代回 S - 方程，得分离变量后的两个方程：

$$-\frac{\hbar^2}{2M}\nabla_{\vec{R}}^2\varphi(\vec{R})=E_c\varphi(\vec{R}) \quad (1)$$

$$\left[-\frac{\hbar^2}{2\mu}\nabla_{\vec{r}}^2+U(\vec{r})\right]\psi(\vec{r})=E\psi(\vec{r}) \quad (2)$$

二、解方程

方程(1)是描写质心运动状态的波函数

这是一个能量为 E_c (质心能量) 的自由粒子的定态薛定谔方程。由此可见，二体体系的质心按能量为 E_c 的自由粒子的方式运动。其解为平面波。

$$\left[-\frac{\hbar^2}{2\mu}\nabla_r^2 + U(\bar{r})\right]\psi(\bar{r}) = E\psi(\bar{r}) \quad (2)$$

方程 (2) 描述的是氢原子中电子相对于核的运动，它是一个折合质量为 μ 的粒子在势能 $U(r) = -e^2/r$ 的库仑场中的运动。

$$\mu = \frac{m_1 m_2}{m_1 + m_2} \xrightarrow{m_2 \gg m_1} \mu = m_1 \text{ (电子)}$$

前面我们已讨论过电子在库仑场中的运动问题，有如下结论：

$$\left\{ \begin{array}{l} E_n = -\frac{\mu Z^2 e_s^4}{2n^2 \hbar^2} = -\frac{Z^2 e_s^2}{2a_0} \frac{1}{n^2} \\ \psi_{nlm}(r, \theta, \varphi) = R_{nl}(r) Y_{lm}(\theta, \varphi) \end{array} \right.$$

取质量为折合质量

$$\mu = \frac{m_1 m_2}{m_1 + m_2}, \quad e_s = \frac{e}{\sqrt{4\pi\epsilon_0}}$$

电荷为 $-e$ ，质子数 $Z=1$ 时，可得解氢原子问题：

$$\left\{ \begin{array}{l} E_n = -\frac{\mu e_s^4}{2\hbar^2} \frac{1}{n^2} = -\frac{e_s^2}{2a_0} \frac{1}{n^2}, \quad a_0 = \frac{\hbar^2}{\mu e_s^2} \\ \psi_{nlm}(r, \theta, \varphi) = R_{nl}(r) Y_{lm}(\theta, \varphi) \end{array} \right.$$

$$R_{nl}(r) = N_{nl} \exp\left(-\frac{r}{na_0}\right) \left(\frac{2r}{na_0}\right)^l L_{n+l}^{2l+1}\left(\frac{2r}{na_0}\right)$$

$$R_{10} = (Z/a_0)^{3/2} 2 \exp(-Zr/a_0)$$

$$R_{20} = (Z/2a_0)^{3/2} (2 - Zr/a_0) \exp(-Zr/2a_0)$$

$$R_{21} = (Z/2a_0)^{3/2} (Zr/a_0 \sqrt{3}) \exp(-Zr/2a_0)$$

$$R_{30} = \left(\frac{Z}{3a_0}\right)^{3/2} \left[2 - \frac{4Zr}{3a_0} + \frac{4}{27} \left(\frac{Zr}{a_0}\right)^2\right] \exp\left(-\frac{Zr}{3a_0}\right)$$

$$R_{31} = \left(\frac{2Z}{a_0}\right)^{3/2} \left(\frac{2}{27\sqrt{3}} - \frac{Zr}{81a_0\sqrt{3}}\right) \frac{Zr}{a_0} \exp\left(-\frac{Zr}{3a_0}\right)$$

$$R_{32} = \left(\frac{2Z}{a_0}\right)^{3/2} \left(\frac{1}{81\sqrt{15}}\right) \left(\frac{Zr}{a_0}\right)^2 \exp\left(-\frac{Zr}{3a_0}\right)$$

$$a_0 = \frac{\hbar^2}{\mu e_s^2}$$

$$\mu = \frac{m_1 m_2}{m_1 + m_2}$$

$$e_s = \frac{e}{\sqrt{4\pi\epsilon_0}}$$

$$Z=1$$

$$Y_{00} = \frac{1}{\sqrt{4\pi}}, \quad Y_{10} = \sqrt{\frac{3}{4\pi}} \cos \theta, \quad Y_{20} = \sqrt{\frac{15}{16\pi}} (3 \cos^2 \theta - 1)$$

$$Y_{1\pm 1} = \mp \sqrt{\frac{3}{8\pi}} \sin \theta \exp(\pm i\varphi), \quad Y_{2\pm 1} = \mp \sqrt{\frac{15}{8\pi}} \sin \theta \cos \theta \exp(\pm i\varphi)$$

$$Y_{2\pm 2} = \mp \sqrt{\frac{15}{32\pi}} \sin^2 \theta \exp(\pm i2\varphi)$$

三、讨论

1. 概率分布

$$w_{nlm}(r, \theta, \varphi) = |\psi_{nlm}(r, \theta, \varphi)|^2 = R_{nl}^2(r) \Theta_{lm}^2(\theta) |\Phi_m(\varphi)|^2$$

$|\Phi_m(\varphi)|^2$ 代表概率随角度 φ 的分布

$\Theta_{lm}^2(\theta)$ 代表概率随角度 θ 的分布

$R_{nl}^2(r)$ 代表概率随矢径 r 的分布

因此，在 r, θ, φ 附近 $d\tau$ 内找到电子的概率为

$$\begin{aligned} w_{nlm}(r, \theta, \varphi) d\tau &= R_{nl}^2(r) \Theta_{lm}^2(\theta) |\Phi_m(\varphi)|^2 d\tau \\ &= R_{nl}^2(r) \Theta_{lm}^2(\theta) |\Phi_m(\varphi)|^2 r^2 \sin \theta dr d\theta d\varphi \\ &= |R_{nl}(r)|^2 r^2 dr |Y_{lm}(\theta, \varphi)|^2 \sin \theta d\theta d\varphi \end{aligned}$$

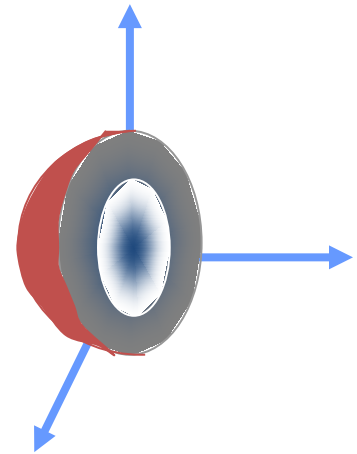
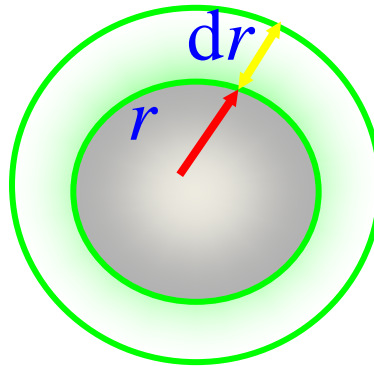
□ 徑向概率分布

在半徑為 r 到 $r+dr$ 的球壳內找到電子的概率

$$w_{nl}(r)dr = R_{nl}^2(r)r^2dr$$

徑向概率密度：

$$w_{nl}(r) = R_{nl}^2(r)r^2$$



比如：基态概率分布：

$$w_{10}(r) = R_{10}^2(r)r^2 = [2a_0^{-3/2} \exp(-r/a_0)]^2 r^2 = 4a_0^{-3} r^2 \exp(-2r/a_0)$$

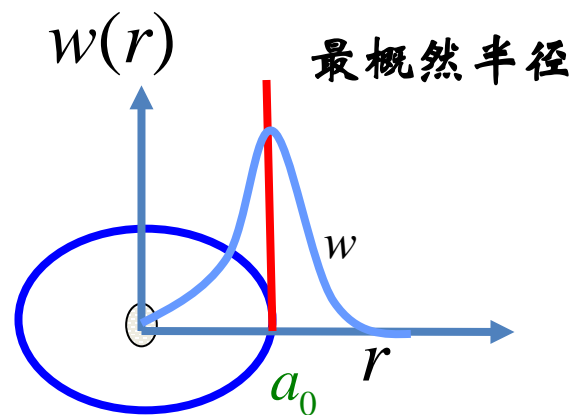
若对分布函数求一阶导数：

$$\frac{d}{dr} w_{nl}(r) = \frac{d}{dr} [r^2 R_{nl}^2(r)] = 0$$

可得电子出现概率最值的对应位置 r ，称为最概然半径。

$$\frac{dw_{10}}{dr} = 4a_0^{-3} \left(2r - \frac{2r^2}{a_0}\right) \exp\left(-\frac{2r}{a_0}\right) = 0$$

$$\Rightarrow r = 0, r = +\infty, r = a_0$$



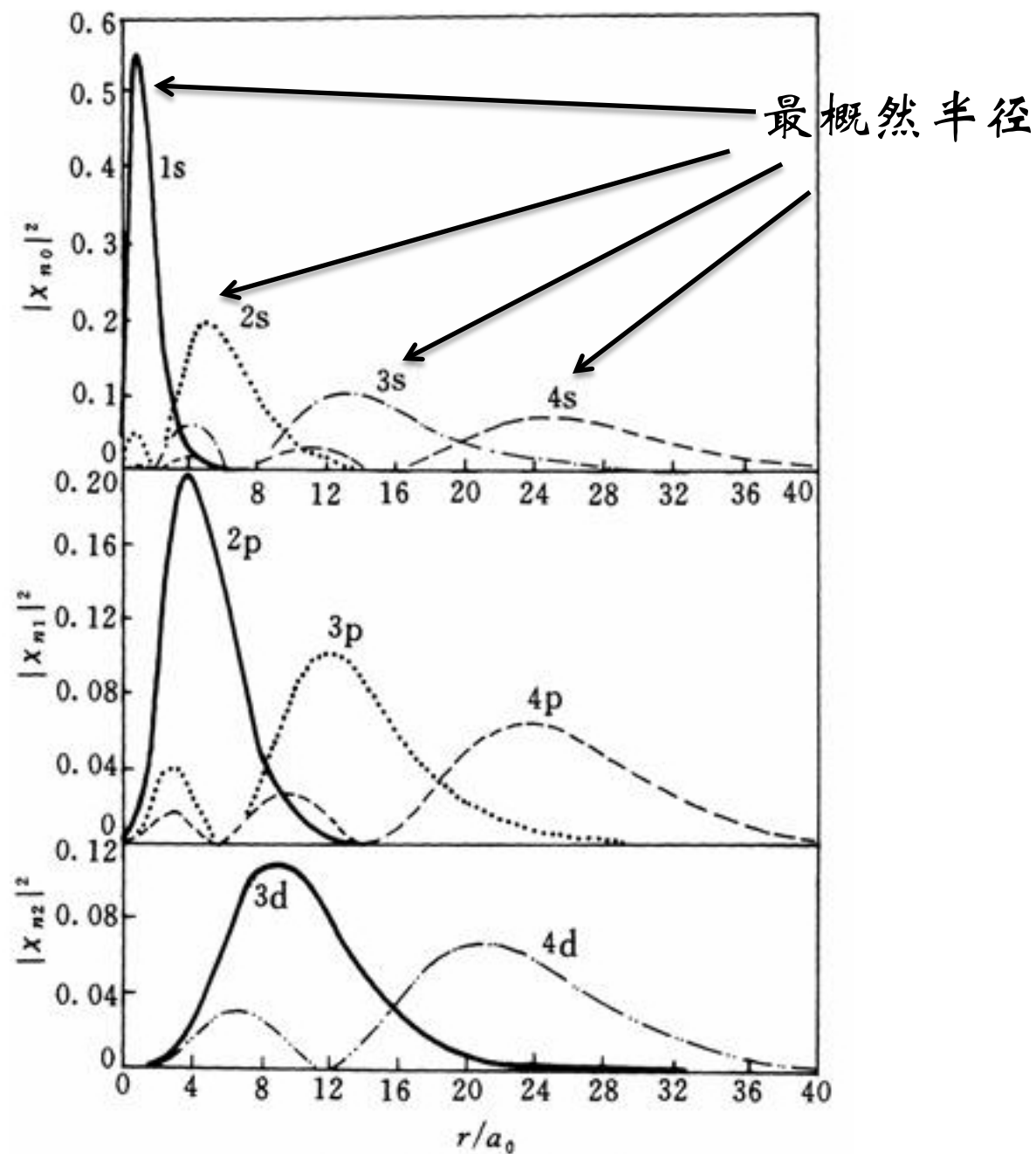
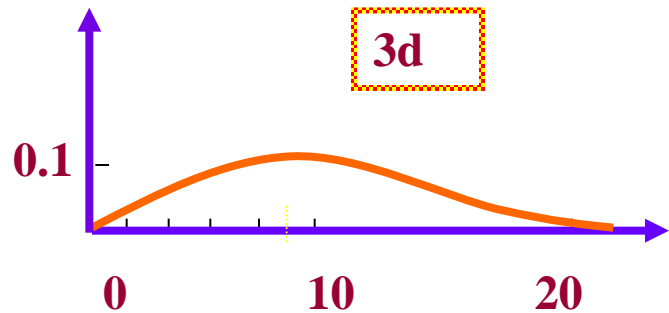
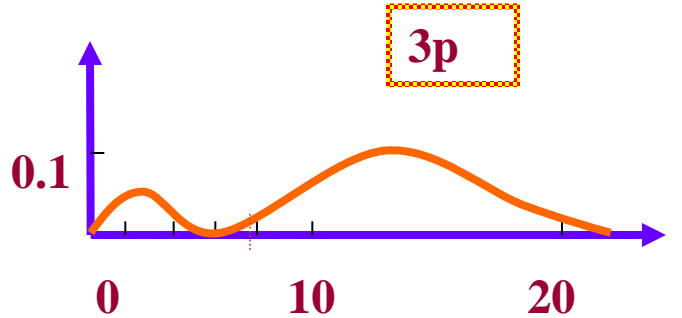
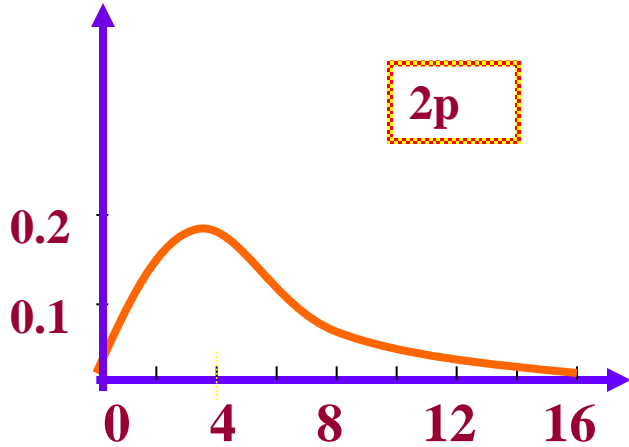
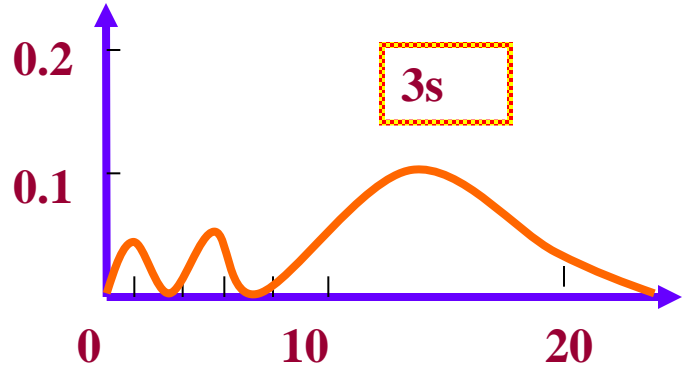
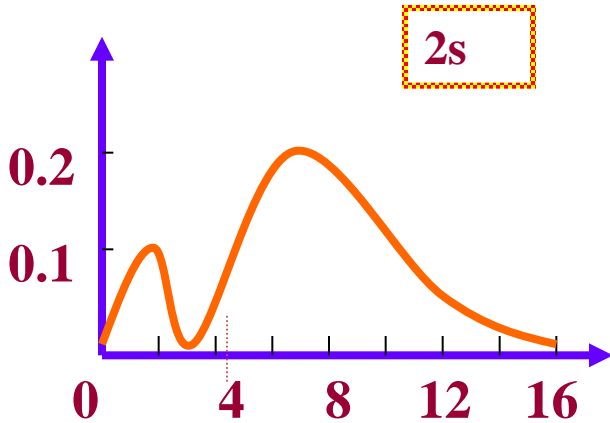
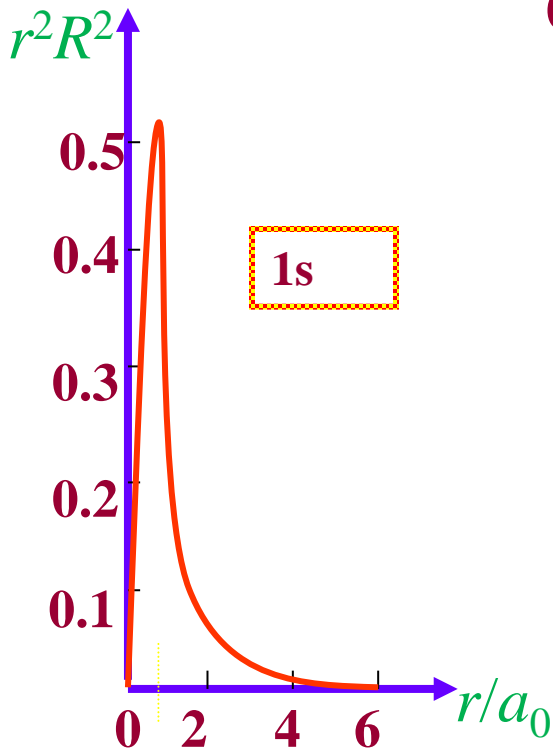


图22-3 电子的径向概率分布

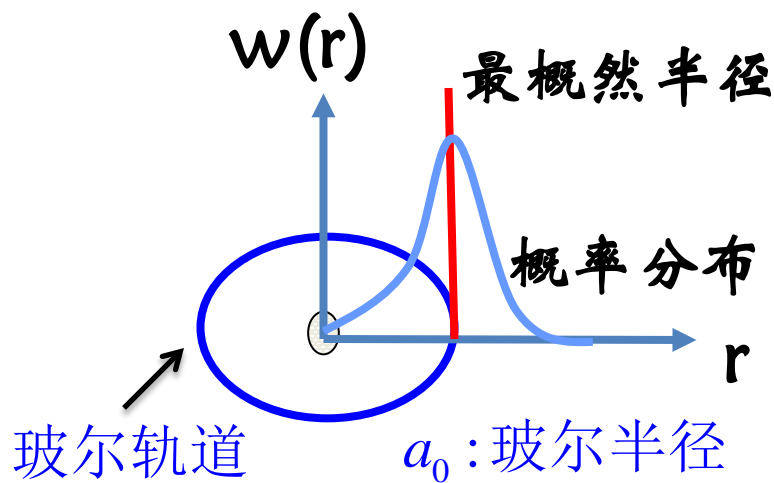
徑向分布



玻尔理论认为：氢原子中的电子是处于以 r_n 为半径的圆轨道上绕核旋转，偏离轨道的位置无电子。

量子力学中，以 r_n 为半径的球面是发现电子概率最大的位置，只是偏离此球面的位置越远，则越难发现电子。

原子“轨道”概念应用“概率云”或“电子云”等概念来代替，量子力学中粒子运动没有“轨道”。



玻尔理论与量子理论的比较

□ 角向概率分布

在定态 $\psi_{nlm}(r, \theta, \varphi)$ 中，电子出现在立体角

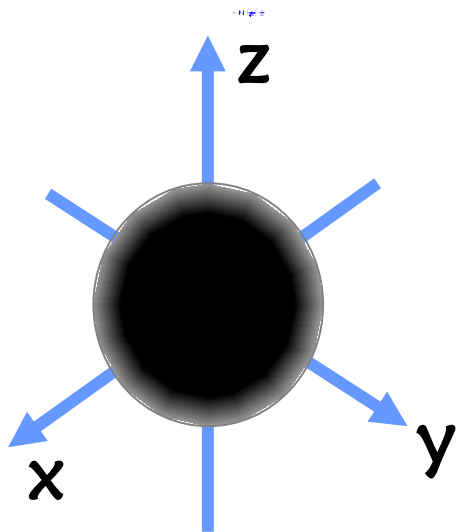
$$d\Omega = \sin \theta d\theta d\varphi$$

内的概率为

$$\begin{aligned} w_{lm}(\theta, \varphi) d\Omega &= |Y_{lm}(\theta, \varphi)|^2 d\Omega \\ &= |N_{lm} P_l^{|m|}(\cos \theta)|^2 |\exp(im\varphi)|^2 d\Omega \\ &= |N_{lm} P_l^{|m|}(\cos \theta)|^2 \sin \theta d\theta d\varphi \end{aligned}$$

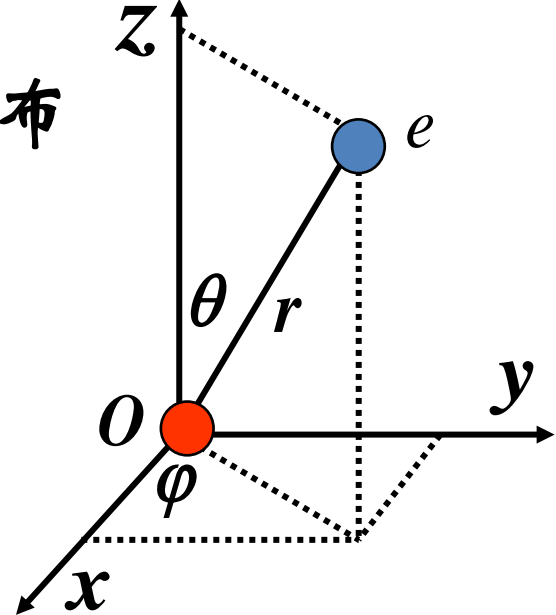
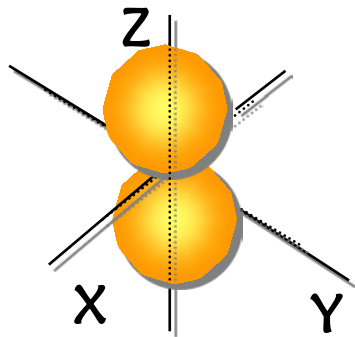
比如：基态角向概率密度分布：

对于1s态($n=1, \ell=0, m=0$)

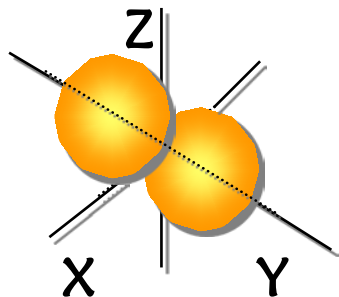


2p态 ($n=2, \ell=1, m=0, \pm 1$) 电子的角向分布

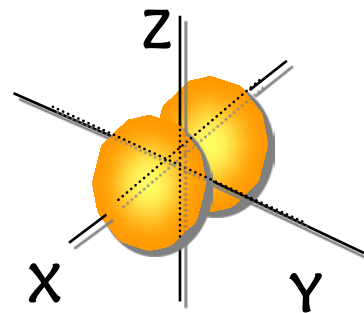
$$w_{10} = \left(\sqrt{\frac{3}{4\pi}} \cos \theta \right)^2 = \frac{3}{4\pi} \cos^2 \theta$$



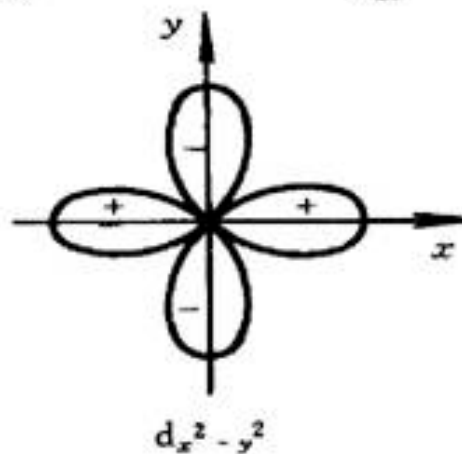
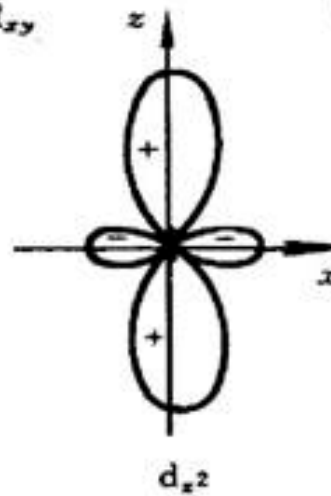
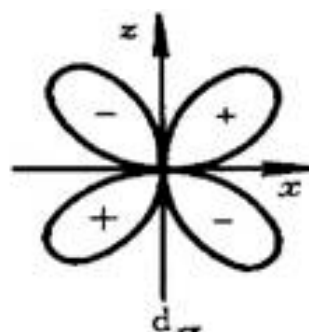
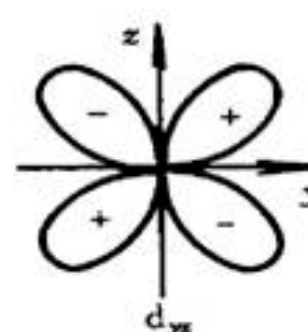
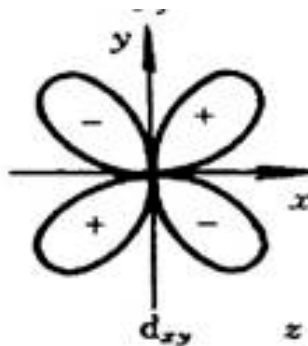
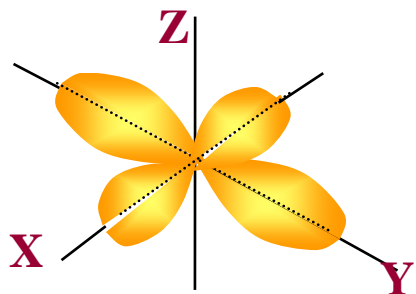
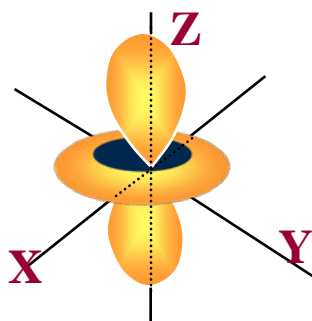
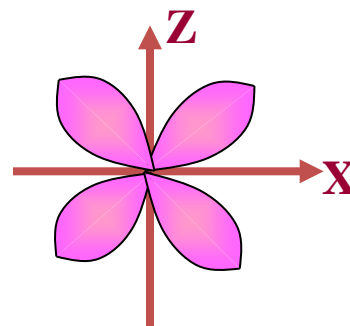
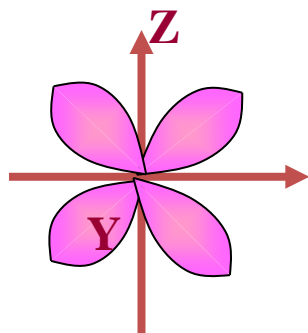
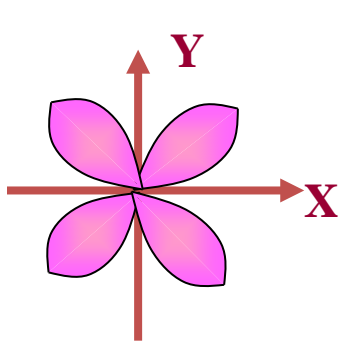
$$w_{11} = \left| \sqrt{\frac{3}{8\pi}} \sin \theta \right|^2$$



$$w_{1-1} = \left| \sqrt{\frac{3}{8\pi}} \sin \theta \right|^2$$



3d态($n=3, \ell=2, m=0, \pm 1, \pm 2$) 电子的角向分布



□ 概率的空间整体分布 (以 $\psi_{2,1,1}$ 态为例)

径向函数:

$$R_{2,1} = \left(\frac{1}{2a_0}\right)^{3/2} \frac{r}{a_0\sqrt{3}} \exp\left(-\frac{r}{2a_0}\right)$$

角向函数:

$$Y_{1,1} = \sqrt{\frac{3}{8\pi}} \sin\theta \exp(i\varphi)$$

整体概率分布:

$$|\psi_{2,1,1}|^2 = \frac{3r^2}{192\pi a_0^5} \exp\left(-\frac{r}{a_0}\right) \cdot \frac{3}{8\pi} \sin^2\theta$$

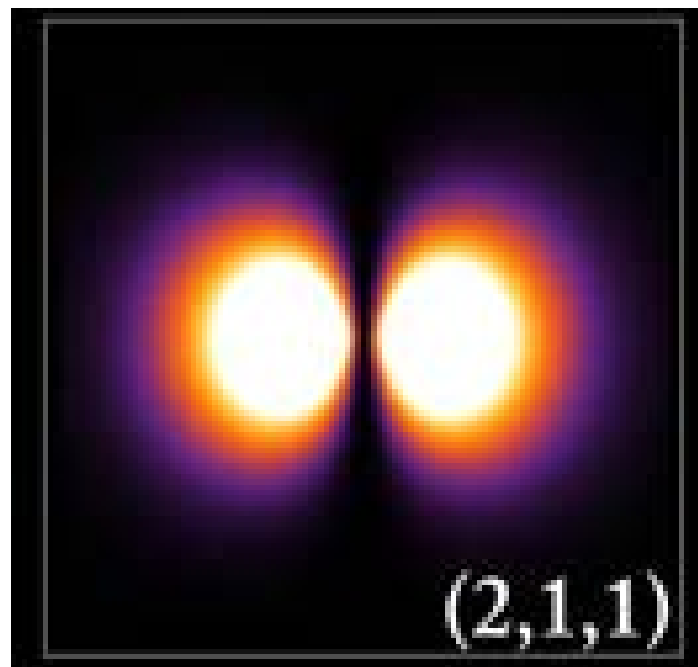
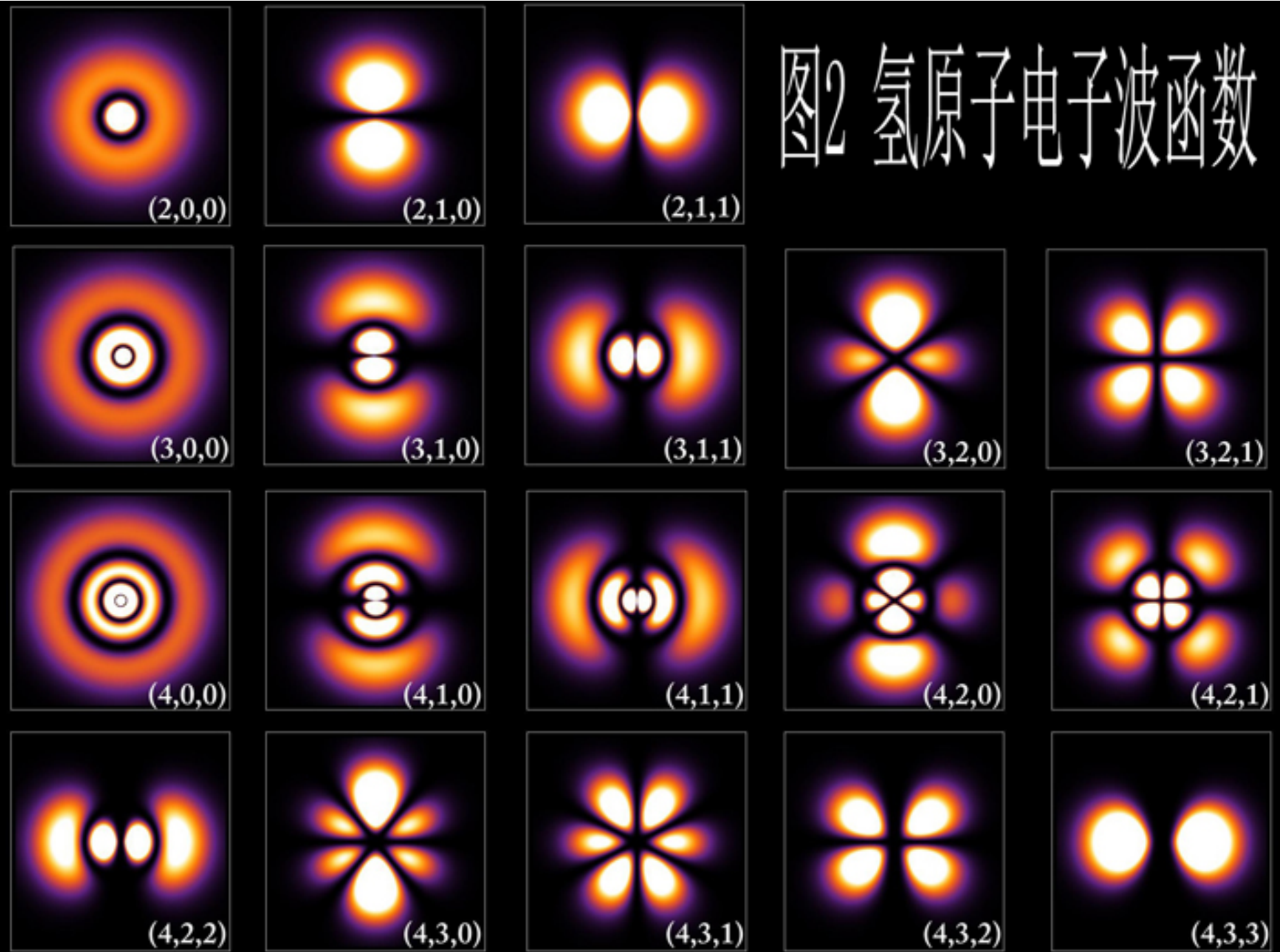


图2 氢原子电子波函数



2. 氢原子磁矩

在定态 $\psi_{nlm}(r, \theta, \varphi)$ 中，电子的电流密度为

$$\vec{j}_e = -e\vec{j} = \frac{ie\hbar}{2\mu} (\psi_{nlm}^* \nabla \psi_{nlm} - \psi_{nlm} \nabla \psi_{nlm}^*)$$

式中：
$$\psi_{nlm} = R_{nl}(r) P_l^m(\cos \theta) e^{im\varphi}$$

$$\nabla = \frac{\partial}{\partial r} \vec{e}_r + \frac{1}{r} \frac{\partial}{\partial \theta} \vec{e}_\theta + \frac{1}{r \sin \theta} \frac{\partial}{\partial \varphi} \vec{e}_\varphi$$

$$\begin{aligned}
\bar{J}_e = -e\bar{J} &= -e\frac{i\hbar}{2\mu}[\psi_{n\ell m}(\bar{e}_r\frac{\partial}{\partial r} + \frac{1}{r}\bar{e}_\theta\frac{\partial}{\partial\theta} + \bar{e}_\varphi\frac{1}{r\sin\theta}\frac{\partial}{\partial\varphi})\psi_{n\ell m}^* \\
&\quad - \psi_{n\ell m}^*(\bar{e}_r\frac{\partial}{\partial r} + \frac{1}{r}\bar{e}_\theta\frac{\partial}{\partial\theta} + \bar{e}_\varphi\frac{1}{r\sin\theta}\frac{\partial}{\partial\varphi})\psi_{n\ell m}] \\
&= -\frac{ie\hbar}{2\mu}[\bar{e}_r(\psi_{n\ell m}\frac{\partial}{\partial r}\psi_{n\ell m}^* - \psi_{n\ell m}^*\frac{\partial}{\partial r}\psi_{n\ell m}) + \bar{e}_\theta(\psi_{n\ell m}\frac{1}{r}\frac{\partial}{\partial\theta}\psi_{n\ell m}^* \\
&\quad - \psi_{n\ell m}^*\frac{1}{r}\frac{\partial}{\partial\theta}\psi_{n\ell m}) + \bar{e}_\varphi(\frac{1}{r\sin\theta}\psi_{n\ell m}\frac{\partial}{\partial\varphi}\psi_{n\ell m}^* - \frac{1}{r\sin\theta}\psi_{n\ell m}^*\frac{\partial}{\partial\varphi}\psi_{n\ell m})]
\end{aligned}$$

因 $R_{nl}(r)$ 和 $P_l^{|m|}(\cos\theta)$ 均为实函数，前两项为零，于是

$$\begin{aligned}
&= -\frac{ie\hbar}{2\mu r\sin\theta}(-im|\psi_{n\ell m}|^2 - im|\psi_{n\ell m}|^2)\bar{e}_\varphi \\
&= -\frac{e\hbar m}{\mu r\sin\theta}|\psi_{n\ell m}|^2\bar{e}_\varphi
\end{aligned}$$

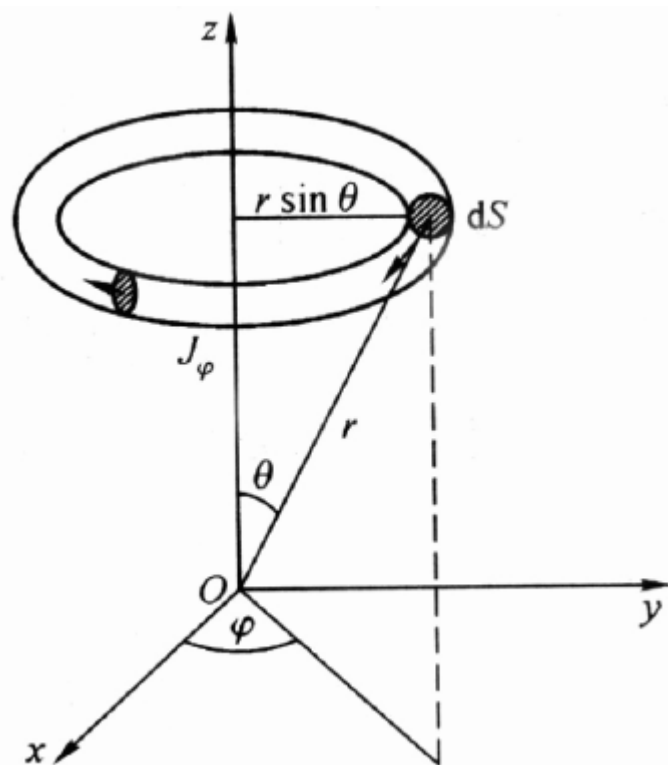
结论:

$$\vec{j} = (j_{e_r}, j_{e_\theta}, j_{e_\varphi})$$

$$j_{e_r} = j_{e_\theta} = 0$$

$$j_{e_\varphi} = -\frac{e\hbar}{\mu} \cdot \frac{m}{r \sin \theta} |\psi_{nlm}|^2$$

j_{e_φ} 是绕z轴的环形电流密度。



已知面元: $dS = r dr d\theta$

计算通过截面 dS 的电流元 $dI = j_{e_\varphi} dS$

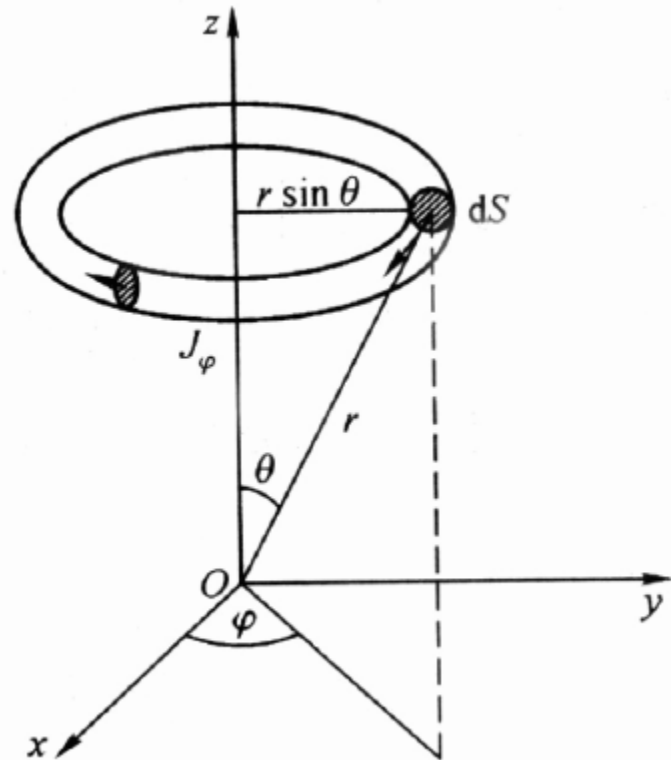
$$dI = j_{e\varphi} dS = j_{e\varphi} r dr d\theta$$

$$= -\frac{me\hbar}{\mu} \cdot \frac{|\psi_{nlm}|^2}{\sin \theta} dr d\theta$$

相应的磁矩元：

$$dM_z = A dI = \pi (r \sin \theta)^2 dI$$

$$= -\frac{e\hbar m}{\mu} r^2 \pi \sin \theta |\psi_{nlm}|^2 dr d\theta$$



磁矩为

$$\begin{aligned}M_z &= \int dM_z \\&= \int -\frac{e\hbar m}{\mu} r^2 \pi \sin \theta |\psi_{nlm}|^2 dr d\theta \\&= -m \frac{e\hbar}{2\mu} \\&= -m M_B\end{aligned}$$

式中 m 是磁量子数；

$M_B = \frac{e\hbar}{2\mu}$ 是玻尔磁子，也常用 μ_B 表示

因为

$$L_z = m\hbar \quad M_z = -mM_B \quad M_B = \frac{e\hbar}{2\mu}$$

有

$$\frac{M_z}{L_z} = -\frac{e}{2\mu}$$

这个比值称为轨道磁回旋比率。

例 1：氢原子处于态 $\psi(r, \theta, \varphi) = \frac{1}{(\pi a_0^3)^{1/2}} e^{-r/a_0}$ ，求

(1) r 的平均值

(2) 势能 $-e^2/r$ 的平均值 (3) 最概然半径 (4) 动量平均值

(5) 动量的几率分布函数

解：(1) 由公式 $\overline{F} = \int \psi^*(x) \hat{F} \psi(x) dx$

$$\begin{aligned} \overline{r} &= \int \psi^*(r, \theta, \varphi) \hat{r} \psi(r, \theta, \varphi) d\tau = \frac{1}{(\pi a_0^3)^{1/2}} \int_0^\infty \int_0^\pi \int_0^{2\pi} e^{-2r/a_0} \cdot r \cdot r^2 \sin \theta dr d\theta d\varphi \\ &= \frac{2 \times 2\pi}{(\pi a_0^3)^{1/2}} \int_0^\infty e^{-2r/a_0} r^3 dr = \frac{4\pi}{(\pi a_0^3)^{1/2}} \frac{3!}{(2/a_0)^4} = \frac{3}{2} a_0 \end{aligned}$$

已知积分公式： $\int_0^\infty e^{-ax} x^n dx = \frac{n!}{a^{n+1}}$

$$\begin{aligned}
 (2) \quad \left\langle -\frac{e_s^2}{r} \right\rangle &= \frac{1}{\pi a_0^3} \int_0^\infty \int_0^\pi \int_0^{2\pi} e^{-2r/a_0} \frac{e_s^2}{r} r^2 \sin \theta dr d\theta d\varphi \\
 &= -\frac{4e_s^2}{a_0^3} \int_0^\infty r e^{-2r/a_0} dr = -\frac{4e_s^2}{a_0^3} \frac{1}{(2/a_0)^2} = -\frac{e_s^2}{a_0}
 \end{aligned}$$

(3) 在半径 $r \sim r+dr$ 的球壳内找到电子的几率：

$$w_{100}(r)dr = \int_0^\pi \int_0^{2\pi} |\psi_{100}(r, \theta, \varphi)|^2 r^2 \sin \theta dr d\theta d\varphi = 4\pi |\psi_{100}|^2 r^2 dr = \frac{4}{a_0^3} e^{-2r/a_0} r^2 dr$$

$$w_{100}(r) = \frac{4}{a_0^3} e^{-2r/a_0} r^2,$$

$$\frac{dw_{100}}{dr} = \frac{4}{a_0^3} (2r e^{-2r/a_0} - r^2 \frac{2}{a_0} e^{-2r/a_0}) = 0$$

即 $2r(1 - \frac{r}{a_0})e^{-2r/a_0} = 0$, 有 $r = 0, r = \infty$ 或 $r = a_0$

代回 $w_{100}(r)$ 中, 可见 $r = 0, \infty$ 为 $w_{100}(r)$ 极小点 ($w=0$)

\therefore 最概然半径 (概率密度最大处) : $r=a_0$

$$\begin{aligned}
 (4) \quad \overline{P^2} &= \int \psi_{100}^* \hat{P}^2 \psi_{100} d\tau = \frac{1}{\pi a_0^3} \int e^{-r/a_0} (-i\hbar \nabla)^2 e^{-r/a_0} d\tau \\
 &= \frac{1}{\pi a_0^3} \int e^{-r/a_0} \left[-\frac{\hbar^2}{r^2} \frac{\partial}{\partial r} \left(r^2 \frac{\partial}{\partial r} \right) \right] e^{-r/a_0} d\tau = \frac{1}{\pi a_0^3} \int e^{-r/a_0} \left[-\frac{\hbar^2}{r^2} \left(\frac{r^2}{a_0^2} - \frac{2r}{a_0} \right) \right] e^{-r/a_0} d\tau \\
 &= \frac{\hbar^2}{\pi a_0^3} \int e^{-2r/a_0} \left[\frac{1}{r^2} \left(\frac{r^2}{a_0^2} - \frac{2r}{a_0} \right) \right] r^2 \sin \theta dr d\theta d\varphi = \frac{4\hbar^2}{a_0^3} \int e^{-2r/a_0} \left(\frac{2r}{a_0} - \frac{r^2}{a_0^2} \right) dr \\
 &= \frac{4\hbar^2}{a_0^3} \left[\frac{2}{a_0} \frac{1!}{(2/a_0)^2} - \frac{1}{a_0^2} \frac{2!}{(2/a_0)^3} \right] = \frac{\hbar^2}{a_0^2}
 \end{aligned}$$

动能平均值:
$$\overline{T} = \frac{\overline{P^2}}{2\mu} = \frac{\hbar^2}{2\mu a_0^2}$$

$$(5) \quad \psi_{100}(r, \theta, \varphi) = \int c_p \psi_p(\vec{p}) d\tau_p$$

$$c_p = \int \psi_p^* \psi_{100} d\tau = \frac{1}{(2\pi\hbar)^{3/2}} \int \exp(-\frac{i}{\hbar} \vec{p} \cdot \vec{r}) \frac{1}{\sqrt{\pi a_0^3}} \exp(-\frac{r}{a_0}) d\tau$$

$$= \frac{1}{\sqrt{\pi a_0^3} (2\pi\hbar)^{3/2}} \int \exp(-\frac{r}{a_0}) \exp(-\frac{i}{\hbar} p r \cos \theta) r^2 \sin \theta dr d\theta d\varphi$$

$$= \frac{2\pi}{\pi^2 (2a_0\hbar)^{3/2}} \int_0^\pi \int_0^\infty \exp(-\frac{r}{a_0}) \exp(-\frac{i}{\hbar} p r \cos \theta) r^2 dr d(-\cos \theta)$$

$$= \frac{2}{\pi (2a_0\hbar)^{3/2}} \int_0^\infty e^{-\frac{r}{a_0}} \frac{\hbar}{ipr} [\exp(\frac{i}{\hbar} pr) - \exp(-\frac{i}{\hbar} pr)] r^2 dr$$

$$= \frac{2\hbar}{\pi ip (2a_0\hbar)^{3/2}} \int_0^\infty \{ \exp[(\frac{i}{\hbar} p - \frac{1}{a_0})r] - \exp[(-\frac{i}{\hbar} p - \frac{1}{a_0})r] \} r dr$$

$$= \frac{2\hbar}{\pi ip (2a_0\hbar)^{3/2}} [(-\frac{ip}{\hbar} + \frac{1}{a_0})^{-2} - (\frac{ip}{\hbar} + \frac{1}{a_0})^{-2}]$$

$$= \frac{8a_0^3 \hbar^4}{\pi (2a_0\hbar)^{3/2} (\hbar^2 + a_0^2 p^2)^2}$$

∴ 动量空间的几率分布（动量在 $p \sim p+dp$ 球壳内的几率）：

$$\begin{aligned} w(p)dp &= |c_p|^2 4\pi p^2 dp \\ &= \frac{64a_0^6 \hbar^8}{\pi^2 (2a_0 \hbar)^3 (\hbar^2 + a_0^2 p^2)^4} 4\pi p^2 dp \\ &= \frac{32a_0^3 \hbar^5 p^2}{\pi (\hbar^2 + a_0^2 p^2)^4} dp \end{aligned}$$

例 2 : 设氢原子处于状态

$$\psi(r, \theta, \varphi) = \frac{1}{2} R_{21}(r) Y_{10}(\theta, \varphi) - \frac{\sqrt{3}}{2} R_{21}(r) Y_{1-1}(\theta, \varphi)$$

求氢原子能量、角动量平方及角动量 Z 分量的可能值，这些可能值出现的几率和这些力学量的平均值。

解：在此能量中，氢原子能量有确定值

$$E_2 = -\frac{\mu e_s^2}{2\hbar^2 n^2} = -\frac{\mu e_s^2}{8\hbar^2} \quad (n=2)$$

角动量平方有确定值为

$$L^2 = \ell(\ell+1)\hbar^2 = 2\hbar^2 \quad (\ell=1)$$

角动量 Z 分量的可能值为

$$L_{Z1} = 0 \quad L_{Z2} = -\hbar$$

其相应的几率分别为

$$\frac{1}{4}, \quad \frac{3}{4}$$

其平均值为

$$\overline{L}_z = \frac{1}{4} \times 0 - \hbar \times \frac{3}{4} = -\frac{3}{4}\hbar$$

例 3 : 利用测不准关系估计氢原子的基态能量

解：设氢原子基态的最概然半径为 R ，则原子半径的不确定范围可近似取为

$$\Delta r \approx R$$

由测不准关系

$$\overline{(\Delta r)^2} \cdot \overline{(\Delta p)^2} \geq \frac{\hbar^2}{4}$$

得

$$\overline{(\Delta p)^2} \geq \frac{\hbar^2}{4R^2}$$

对于氢原子，基态波函数为偶宇称，而动量算符 \hat{p} 为奇宇称，所以

$$\overline{p} = 0$$

又有

$$\overline{(\Delta p)^2} = \overline{p^2} - \overline{p}^2$$

所以

$$\overline{p^2} = \overline{(\Delta p)^2} \geq \frac{\hbar^2}{4R^2}$$

可近似取

$$\overline{p^2} \approx \frac{\hbar^2}{R^2}$$

能量平均值为

$$\overline{E} = \frac{\overline{P^2}}{2\mu} - \frac{\overline{e_s^2}}{r}$$

作为数量级估算可近似取

$$\frac{\overline{e_s^2}}{r} \approx \frac{e_s^2}{R}$$

则有

$$\overline{E} \approx \frac{\hbar^2}{2\mu R^2} - \frac{e_s^2}{R}$$

基态能量应取 \overline{E} 的极小值，由

$$\frac{\partial \overline{E}}{\partial R} = -\frac{\hbar^2}{\mu R^3} + \frac{e_s^2}{R^2} = 0$$

得

$$R = \frac{\hbar^2}{\mu e_s^2}$$

代入 \overline{E} ，得到基态能量为

$$\overline{E}_{\min} = -\frac{\mu e_s^4}{2\hbar^2}$$

作业：试证明：处于 1s, 2p 和 3d 态的氢原子的电子在离原子核的距离分别为 a_0 、 $4a_0$ 和 $9a_0$ 的球壳内被发现的几率最大(a_0 为第一玻尔轨道半径)

作业2：写出氢原子处于基态时的能量和波函数

作业3：以例4为作业，完成其中的计算过程

附录： 1 设 $t=0$ 时，粒子的状态为

$$\psi(x) = A[\sin^2 kx + \frac{1}{2} \cos kx]$$

求此时粒子的平均动量和平均动能。

$$\text{解： } \psi(x) = A[\sin^2 kx + \frac{1}{2} \cos kx] = A[\frac{1}{2}(1 - \cos 2kx) + \frac{1}{2} \cos kx]$$

$$= \frac{A}{2}[1 - \cos 2kx + \cos kx]$$

$$= \frac{A}{2}[1 - \frac{1}{2}(e^{i2kx} - e^{-i2kx}) + \frac{1}{2}(e^{ikx} + e^{-ikx})]$$

$$= \frac{A\sqrt{2\pi\hbar}}{2}[e^{i0x} - \frac{1}{2}e^{i2kx} - \frac{1}{2}e^{-i2kx} + \frac{1}{2}e^{ikx} + \frac{1}{2}e^{-ikx}] \cdot \frac{1}{\sqrt{2\pi\hbar}}$$

动量的可能值为 0 $2k\hbar$ $-2k\hbar$ $k\hbar$ $-k\hbar$

$$(\frac{A^2}{4} \quad \frac{A^2}{16} \quad \frac{A^2}{16} \quad \frac{A^2}{16} \quad \frac{A^2}{16}) \cdot 2\pi\hbar \quad A = 1/\sqrt{\pi\hbar}$$

$$\text{动能的可能值为} 0 \quad \frac{2k^2\hbar^2}{\mu} \quad \frac{2k^2\hbar^2}{\mu} \quad \frac{k^2\hbar^2}{2\mu} \quad \frac{k^2\hbar^2}{2\mu}$$

$$\left(\frac{1}{2} \quad \frac{1}{8} \quad \frac{1}{8} \quad \frac{1}{8} \quad \frac{1}{8}\right) \cdot A^2\pi\hbar$$

$$\bar{p} = \sum_n p_n \omega_n$$

$$= 0 + 2k\hbar \times \frac{A^2}{16} \cdot 2\pi\hbar - 2k\hbar \times \frac{A^2}{16} \cdot 2\pi\hbar + k\hbar \times \frac{A^2}{16} \cdot 2\pi\hbar - k\hbar \times \frac{A^2}{16} \cdot 2\pi\hbar = 0$$

$$\bar{T} = \frac{\overline{p^2}}{2\mu} = \sum_n \frac{p_n^2}{2\mu} \omega_n$$

$$= 0 + \frac{2k^2\hbar^2}{\mu} \cdot \frac{1}{8} \times 2 + \frac{k^2\hbar^2}{2\mu} \times \frac{1}{8} \times 2$$

$$= \frac{5k^2\hbar^2}{8\mu}$$

附录：2 用线性谐振子模型，计算二氧化碳分子的能量并讨论其振动方式

附录 3 一刚性转子转动惯量为 I ，它的能量表达式为 $\hat{H} = \frac{\hat{L}^2}{2I}$ ， L 为角动量。求量子转子在下列情况下的定态能量及波函数。

(1) 转子绕一固定轴转动；(2) 转子绕一固定点转动。

解：(1) 设转子绕 z 轴转动，则 $L = L_z, \hat{H} = \frac{\hat{L}_z^2}{2I}, L_z = -i\hbar \frac{\partial}{\partial \varphi}$

能量本征值方程：
$$-\frac{\hbar^2}{2I} \frac{d^2}{d\varphi^2} \psi = E\psi, \text{ 即 } \psi(\varphi)'' + \frac{2IE}{\hbar^2} \psi = 0$$

\therefore 解为 $\psi(\varphi) = Ae^{i\sqrt{\lambda}\varphi} + Be^{-i\sqrt{\lambda}\varphi}, \lambda = 2IE / \hbar^2$

利用自然边界条件： $\psi(\varphi=0) = \psi(\varphi=2n\pi): \sqrt{\lambda} = m', m' = 0, 1, 2, \dots$

归一化形式为 $\psi(\varphi) = \frac{1}{\sqrt{2\pi}} e^{im\varphi}, m = \sqrt{\frac{2IE}{\hbar^2}}$ 为整数。

解二：已知 \hat{L}_z^2 的本征函数为 $\Phi(\varphi) = \frac{1}{\sqrt{2\pi}} e^{im\varphi}, m = 0, \pm 1, \dots$

而 $\hat{H} = \frac{\hat{L}_z^2}{2I}$, $\therefore \hat{H}$ 的本征函数也是 $\Phi(\varphi)$, 且本征值

$$E_n = \frac{L_z^2}{2I} = \frac{n^2 \hbar^2}{2I}, \quad n = 0, \pm 1, \pm 2, \dots$$

(2) 转子绕固定点转动, θ, φ 均改变, $\hat{L} = \hat{L}(\theta, \varphi)$

$\therefore \hat{L}^2$ 的本征函数为球谐函数 $Y_{lm}(\theta, \varphi)$, 而 $\hat{H} = \frac{\hat{L}^2}{2I}$

$\therefore \hat{H}$ 的本征函数也是 $Y_{lm}(\theta, \varphi)$, 且本征值

$$E_n = \frac{l(l+1)\hbar^2}{2I}, \quad l = 0, 1, 2, \dots$$